

(HUANJING KEXUE)

ENVIRONMENTAL SCIENCE

第36卷 第11期

Vol.36 No.11

2015

中国科学院生态环境研究中心 主办

科学出版社出版



ENVIRONMENTAL SCIENCE

第36卷 第11期 2015年11月15日

目 次

北京市大气气溶胶中糖类化合物的组成及来源 ······· 梁林林,Guenter Engling,段凤魁,马永亮,程远,杜祯宇,贺克斌(3935)
that he are table to the term of the term
北京大气 $PM_{2.5}$ 与惰性 SiO_2 的生物毒性比较 刘梦娇,黄艺,文航,邱国玉(3943)
APEC 期间北京及周边城市 AQI 区域特征及天气背景分析 高庆先,刘俊蓉,王宁,李文涛,高文康,苏布达(3952)
2000 ~ 2014 年北京市 SO_2 时空分布及一次污染过程分析 ····································
利用 SPAMS 研究石家庄市冬季连续灰霾天气的污染特征及成因 ····································
长江三角洲夏季一次典型臭氧污染过程的模拟 张亮,朱彬,高晋徽,康汉青,杨鹏,王红磊,李月娥,邵平(3981)
珠江三角洲区域污染分布及其垂直风场特征
珠江三角洲区域污染分布及其垂直风场特征
洱海流域农业用地与人湖河流水质的关系研究
大辽河主要污染源营养盐输入特征 马迎群,张雷,赵艳民,秦延文,潘晓雪,曹伟,刘志超,杨晨晨(4013)
三峡库区大宁河沉积物营养盐时空分布及其与叶绿素的相关性分析 张永生,李海英,任家盈,卢佳(4021)
不同地质背景水库区夏季水-气界面温室气体交换通量研究 李建鸿,蒲俊兵,孙平安,袁道先,刘文,张陶,莫雪(4032)
NATIONAL DESCRIPTION OF THE PROPERTY OF THE PR
华北低平原区地下水中氟分布特征及形成原因:以南皮县为例
某市典型地段地表水及地下水中氟喹诺酮类抗生素分布特征 崔亚丰,何江涛,苏思慧,杨蕾,乔肖翠(4060)
乳山湾邻近海域沉积物中好氧氨氧化微生物分布特征 贺惠,甄毓,米铁柱,张玉,付璐璐,于志刚(4068)
青木美地卜河中溶解态甾醇来源及迁移、转化特位
多环芳烃在岩溶地下河表层沉积物-水相的分配
降雨期间岩溶地下河溶解态多环芳烃变化特征及来源解析
·····································
重庆南山老龙洞地下河系统重金属分布、迁移及自净能力 任坤,梁作兵,于正良,张宇,王蓉,袁道先(4095)
三岐水库消液带植物无的分布特征
物理和生物组合扰动对底泥微界面过程的影响
超声 计硫酸钾协同主除水中诺氟沙星的效果
裁组还性最近化分离验纳路解除性整了
我底山上次山上及则战以内叶所取止豆/ TO 医硷油羊啉的动力学及汗肿物质分析
物理和生物组合扰动对底泥微界面过程的影响
自歇曝气式膜生物反应器对养猪沼液中兽用抗生素的去除特性····································
四凱黎 【八庆王彻汉应前初外相印仪书音用加王亲的云族行王
一一一一一一一一一一一一一一一一一一一一一一一一一一一一一一一一一一一一一一
单级和两级串联臭氧-生物活性炭深度处理垃圾渗滤液的比较研究 杜安静, 范举红, 刘锐, 邱松凯, 文晓刚, 陈吕军(4154)
水力停留时间和溶解氧对陶粒 CANON 反应器的影响 王会芳, 付昆明, 左早荣, 仇付国(4161)
氨氮对 AOB 抑制的形态及规律
厌氧氨氧化与反硝化协同脱氮处理城市污水 张诗颖, 吴鹏, 宋吟玲, 沈耀良, 张婷(4174)
厌氧氨氧化与反硝化协同脱氮处理城市污水 ····································
厌氧氨氧化与反硝化协同脱氮处理城市污水 张诗颖, 吴鹏, 宋吟玲, 沈耀良, 张婷(4174)
厌氧氨氧化与反硝化协同脱氮处理城市污水 ····································
厌氧氨氧化与反硝化协同脱氮处理城市污水 ····································
厌氧氨氧化与反硝化协同脱氮处理城市污水

三峡库区大宁河沉积物营养盐时空分布及其与叶绿素 的相关性分析

张永生1,李海英1,2,任家盈1,2,卢佳1,2

(1. 中国水利水电科学研究院,北京 100038; 2. 国家水电可持续发展研究中心,北京 100038)

摘要:为研究大宁河底泥营养盐时空分布与藻细胞分布的关系,本研究在大宁河选择 4 个代表性的取样点:菜子坝、白水河、双龙和大昌,利用垂直重力采泥器,按照 2 cm 厚度分层选取底泥,检测底泥中总氮,氨氮、硝态氮、亚硝态氮、总磷、无机磷、有机磷和叶绿素的垂向分布,分析叶绿素与营养盐的相关性.结果表明,菜子坝底泥 0.0~2.0 cm 总氮浓度最高,白水河底泥 2.0~4.0 cm 的总氮浓度最高;菜子坝底泥 2.0~4.0 cm 氨氮浓度最高,1 和 2 月白水河底泥 4.0~6.0 cm 浓度较高;硝酸氮和亚硝酸氮(除 3 月)在菜子坝底泥 2.0~4.0 cm 浓度最高;氨氮、硝酸氮和亚硝酸氮浓度在同一个采样点底泥 4.0 cm 以下分层差异不显著;白水河底泥总磷 0.0~6.0 cm 呈增加趋势,菜子坝底泥表层的总磷和无机磷的浓度显著高于其它分层,而且每一分层中总磷、无机磷浓度都高于其他 3 个取样点相应的分层;有机磷在菜子坝和大昌的浓度高于白水河和双龙的浓度,但是同一采样点底泥不同分层的有机磷浓度差异不显著;同一深层底泥中的叶绿素 a 浓度在大昌最高,其次是白水河,再次菜子坝,双龙处的叶绿素浓度最低;只有 1 月在大昌取样点处无机磷和叶绿素 a 的浓度显著正相关,相关系数为 0.87,底泥中的营养盐不是影响底泥藻细胞分布的主要影响因素.

关键词:三峡水库;藻密度;营养盐;时空分布;相关性

中图分类号: X522 文献标识码: A 文章编号: 0250-3301(2015)11-4021-11 DOI: 10.13227/j. hjkx. 2015. 11. 011

Temporal and Spatial Distribution of Nutrients in Daning River Sediments and Their Correlations with Chlorophyll in the Three Gorges Reservoir Area

ZHANG Yong-sheng¹, LI Hai-ying^{1,2}, REN Jia-ying^{1,2}, LU Jia^{1,2}

(1. China Institute of Water Resources and Hydropower Research, Beijing 100038, China; 2. National Research Center for Hydropower Sustainable Development, Beijing 100038, China)

Abstract: In order to understand the temporal and spatial distribution of nutrients in Daning river sediments and to investigate the relationship between nutrients and algal cells, samples were selected from 4 typical sampling sites, i.e. Caizi Dam, Baishui River, Shuanglong and Dachang. Vertical gravity mud samplers were used to collect the sediments from different layers within 20 cm in increment of 2 cm. Vertical distributions of TN, NH₄ -N, NO₃ -N, NO₂ -N, TP, inorganic P and organic P in sediments of different sampling sites were investigated. And so was the vertical distribution of chlorophyll. Moreover, the correlation between chlorophyll and the nutrients was analyzed. Results showed that the contents of TN were the highest at the depth of 0.0-2.0 cm in the Caizi Dam sediments, and at the depth of 2.0-4.0 cm in the Baishui River sediments. The highest NH₄+N content occurred at 2.0-4.0 cm in the Caizi Dam sediments and at 4.0-6.0 cm in the Baishui River in January and February. As to NO₃-N and NO₂-N contents, they were the highest at 2.0-4.0 cm in Caizi Dam sediments except March. For NH₄+N, NO₃-N and NO₂-N, there was no significant difference under 4.0 cm sediments at the same sampling site. The distribution of TP was increasing from 0.0 to 6.0 cm in Baizi River sediments. But in Caizi Dam sediments TP and inorganic P contents in 0.0-2.0 cm were higher than those of others layers; TP and inorganic P in all different layers of Caizi Dam sediments were greater than those of corresponding layers in other sampling sites' sediments. The contents of organic P at Caizi Dam and Dachang were higher than those of Baishui River and Shuanglong, while the difference of organic P contents was not significant in different sediments layers at the same sampling site. The chlorophyll a contents in Dachang were the highest at every layer comparing to the corresponding layers of others, followed by Baishui River, Caizi Dam, and Shuanglong. Only one significantly positive correlation was observed between the content of inorganic P and chlorophyll a in Dachang site in January, with the correlation coefficient was 0.87. The correlation results implied that nutrients in sediments were not the main factors affecting the distribution of algal cells.

Key words: Three Gorges Reservoir; algal density; nutrients; temporal and spatial distribution; correlation

近年来,我国部分湖库富营养化严重,频繁发生 藻华灾害,严重影响湖泊生态安全和居民饮用水安 全^[1,2].为了预测藻华的暴发,科学家们对藻华的形 成机制进行了长期探索,迄今研究表明藻华的形成

收稿日期: 2015-04-17; 修订日期: 2015-06-15

基金项目: 国家水体污染控制与治理科技重大专项(2014ZX-006-05); 中国水利水电科学研究院科研专项(电集 1227)作者简介: 张永生(1977~),博士,高级工程师,主要研究方向为水

环境学、环境生物学, E-mail: yszsunny@163. com

基本可以分为 4 个阶段: 越冬、复苏、生长及消亡[3,4].

藻细胞越冬通常包含水体和底泥两个相对独立 而又关联的载体, 因此底泥中的藻细胞分布对预测 次年藻华发生的地点是至关重要的. 越冬期,微囊 藻聚集在水库和湖泊中底泥表面,为次年的藻华提 供藻源^[5,6],越冬期间 Mendota 湖底泥中的微囊藻主 要集中在表层底泥(0~4.0 cm),但具有光合作用 活性[7]:有研究发现微囊藻在越冬期间底泥中的生 物量大于悬浮游的生物量,说明微囊藻能在底泥表 面聚集并存活较长的时间[8,9],其研究结果间接地 证实了蓝藻的越冬行为; Hansson^[10]认为 Mendota 湖底泥表面4种藻类上浮量与水体中藻类生物量有 直接的关系,说明上浮的藻类是水体中藻类生物量 的重要来源. 季健等[11] 通过分析越冬期太湖底泥 中藻细胞时空分布预测次年藻华的种源地在梅梁 湾,15N 稳定性同位素示踪的方法证实夏季水体中 初期发生的微囊藻水华主要来源于底泥中的越冬微 囊藻群体[12]. 但是 Yang 等[13]认为越冬的底泥微囊 藻进入到水柱的数量有限,藻华的形成是因为水柱 中藻细胞大量生长所致. 很显然,不同的研究地点, 不同的藻种类型,其研究结果也不尽相同. 对于藻 种的复苏, Verspagen 等[14]认为微囊藻从底泥到水 中的复苏是一个由于外来风力或生物扰动所产生的 再次悬浮的被动过程. 对于藻种再悬浮之前藻种的 分布与底泥的营养关系值得研究.

营养盐是影响藻华形成的一个重要因素,但是目前相关研究大部分集中在水体营养盐与藻华生长互作关系,对于底泥营养盐与藻华的关系研究并不多,相关研究聚焦在湖库底泥的营养分布及营养盐形态转化方面^[15~17],但将底泥营养盐分布与藻种来源的关系作为研究内容并不多.季健和苗秀珍分析了年际间太湖底泥营养盐和叶绿素的浓度,并初步分析了营养盐与叶绿素分布之间的关系,结果表明总磷与叶绿素在2月呈显著相关^[18,19].在沉积物底部的缺氧和厌氧条件下,铁铝磷向钙磷、有机磷转化,此转化过程不利于藻细胞生长,沉积物磷释放增加上覆水中的磷酸盐浓度,为藻细胞生长繁殖提供了必要的营养条件^[20].

三峡水库蓄水以来,支流流速减缓,泥沙沉降,库湾和支流污染物的滞留时间延长,导致支流藻密度较高,极易形成藻华[21~27].大宁河(31°02′~31°20′N,109°30′~110°01′E)是三峡库区重要的支流,发源于重庆巫溪县境内,于巫山县城以东注人长

江,全长 202 km,流域面积达4 180.87 km² 距离三峡 大坝约 123 km,其回水水域主要位于重庆市巫山县 境内.大宁河是著名风景区——小三峡所在河流,该 河流回水区段淹没区域既有原来的农田,又有原来 的村寨,还有 V 字型峡谷^[28],底泥特征并不一致.

迄今,在大宁河发生几次较大的藻华^[28],目前研究表明:大宁河春季藻细胞主要集中在水体上层0~4.0 m之间,其密度与总氮、总磷、水温、DO、pH、浊度、高锰酸盐指数呈显著正相关关系,与透明度呈负相关关系^[29],形成水华原因除了水体水质达富营养化条件外,回水区水动力条件的改变也是重要因素之一^[30].但是对于藻华种源是否来源于底泥还不得而知,并且目前没有发现关于大宁河底泥营养盐的分布的相关报道,因此进一步探究大宁河支流藻华形成机制,为建立库区支流基于藻华形成机制的藻华预警体系,分析越冬期间大宁河底泥营养盐分布及其与藻细胞分布关系是极为必要的.

1 材料与方法

1.1 研究地点

本研究选择三峡库区大宁河流域 4 个具有代表性采样位点,分别是菜子坝、白水河、双龙及大昌(图1). 菜子坝是大宁河支流与长江干流的交汇处,其河底既有巫山县城老城区的城市土地,又有原来大宁河河道的沉积物;白水河是大宁河流域典型的河湾,其河底平坦,蓄水前多为农田,此种类型的

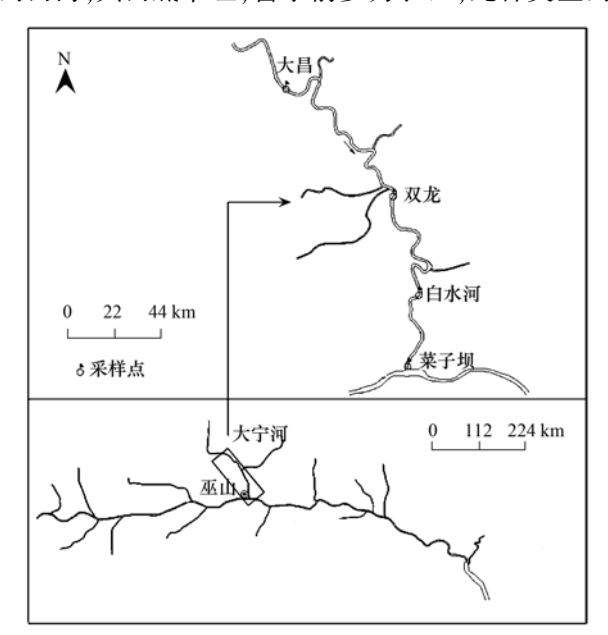


图 1 采样点在三峡库区的地理位置示意

Fig. 1 Sampling sites in Baishui Bay, the Daning River, the Three Gorges Reservoir

河湾在大宁河流域较为常见; 双龙取样点属峡谷航道,两岸为石质峭壁,河流横断面为"V"型,其底部多为沙砾及砾石; 大昌取样点位于古城原址,蓄水后大宁河的回水最上端区域.

1.2 野外采样

由于大昌取样点在 2007 年 12 月还曾出现过大规模藻华现象,为了真实地反映越冬期藻细胞的所在场所,野外底泥取样试验于 2013 年 1~4 月进行,每月 15 日左右采样 1 次.

利用内径为 60 mm 的垂直重力柱状采泥器采集约 1.0 m 的底泥样品,从底泥顶层按照每 2.0 cm 的厚度切取底泥移至密封袋中,放入保温箱内冷藏保存. 在每个采样点采集 3 份平行样品,相关指标测定结果取其平均值.

1.3 测定方法

总氮、铵态氮、硝态氮、亚硝态氮、总磷、无机磷和有机磷在实验室测定.底泥中总氮的测定利用碱性过硫酸钾消解紫外分光光度法(GB/T 11894-1989),硝酸盐氮的测定利用紫外分光光度法(HJ/T 346-2007),亚硝酸盐氮的测定利用分光光度法(GB/T 7493-87),铵态氮的测定利用纳氏试剂光度法(HJ 535-2009),总磷的测定利用过硫酸钾消解钼酸铵分光光度法(GB 11893-89),无机磷的测定利用过硫酸钾消解钼酸铵分光光度法(GB 11893-89),有机磷的测定利用钼酸铵分光光度法(GB 11893-89),有机磷的测定利用钼酸铵分光光度法(GB 11893-89),有机磷的测定利用钼酸铵分光光度法(GB 11893-89)

叶绿素的测定: 称取一定量解冻后的底泥样品,于室内风干至恒重,称取 5 g 研磨好的样品放入研钵中,加入 90% 丙酮溶液 2 mL,仔细研磨 5 min,转移至 10 mL 具塞离心管中,于 4 $^{\circ}$ 黑暗条件下静置 $8 \sim 10$ h, 4 000 r·min $^{-1}$ 的转速离心 5 min,上清液转移至 10 mL 容量瓶中,最后用 90% 丙酮定容至 10 mL. 此待测液用于测定叶绿素浓度 $^{[32]}$.

1.4 数据处理

每个样品相关指标测定重复 3 次,取其平均;相关性分析利用 SPSS 16.0 处理, P < 0.05 为显著性相关, P < 0.01 时为极显著相关.

2 结果与分析

2.1 氮素时空分布

2.1.1 总氮

 $1 \sim 4$ 月,菜子坝沉积物 $0.0 \sim 2.0$ cm 之间的总 氮浓度分别为1 215、1 186、1 276和1 198 mg·kg⁻¹, 其量显著高于其他深层的该元素浓度,随着沉积物 的深度增加,该元素浓度迅速下降,在沉积物 4.0~12.0 cm 之间,总氮元素变化不显著,从 12.0 cm 该元素浓度又呈现上升趋势,在 16.0 cm 处再次达到顶点其浓度分别为 849、831、876 和 821 mg·kg⁻¹,随后其浓度再次下降.

 $1 \sim 4$ 月,白水河沉积物中氮元素浓度最高的位置出现在 16.0 cm 处,其浓度分别为 $1042 \sim 994 \sim 964$ 和 942 mg·kg⁻¹,浓度次高点出现在 20.0 cm 处,其浓度分别为 $937 \sim 928 \sim 947$ 和 927 mg·kg⁻¹,4.0 ~ 12.0 cm 之间,总氮元素变化不显著,16.0 ~ 20.0 cm 之间,总氮元素变化也不显著.

 $1 \sim 4$ 月,双龙处沉积物氮元素范围分别在 609 \sim 709、604 \sim 701、604 \sim 688 和 629 \sim 698 $\mathrm{mg} \cdot \mathrm{kg}^{-1}$; 大昌处沉积物氮元素范围分别在 641 \sim 812、632 \sim 720、606 \sim 701 和 651 \sim 714 $\mathrm{mg} \cdot \mathrm{kg}^{-1}$. 双龙处沉积物各层的氮元素差异不显著,大昌处沉积物中 12.0 \sim 14.0 cm 除了在 1 月高达 812 $\mathrm{mg} \cdot \mathrm{kg}^{-1}$,其他月份大昌沉积物各层氮元素差异不显著(图 2).

2.1.2 氨氮

 $1 \sim 4$ 月,菜子坝沉积物 $0.0 \sim 4.0$ cm 之间的氨氮浓度较高,其最高浓度位于 $2.0 \sim 4.0$ cm,分别为 $58.32 \times 58.08 \times 58.31$ 和 56.32 mg·kg⁻¹,其他分层内氨氮在 4 个月份中均不显著.

 $1 \sim 3$ 月,白水河沉积物中 $0.0 \sim 2.0$ cm 氨氮浓度 最低,其浓度分别为 $24.3 \sim 25.2$ 和 28.3 mg·kg⁻¹,该分层 4 月的氨氮浓度为 30.2 mg·kg⁻¹,4 月沉积物中 $14.0 \sim 16.0$ cm 之间氨氮浓度最低,为 28.4 mg·kg⁻¹.4 个月份沉积物在 $0.0 \sim 6.0$ cm 分层中氨氮浓度呈现上升趋势,其中 $4.0 \sim 6.0$ cm 分层中浓度最高为 $53.46 \sim 53.13 \sim 42.28$ 和 46.83 mg·kg⁻¹,其浓度在其它分层中变化不显著,均位于 $29.42 \sim 42.19$ mg·kg⁻¹.

 $1 \sim 4$ 月,双龙处沉积物中仅在 $12.0 \sim 14.0 \text{m}$ 分层中略高 40 mg·kg^{-1} ,其它分层氨氮浓度差异不显著; $1 \sim 4$ 月,大昌在 4 个取样点中,沉积物中氨氮平均浓度最高分别为 40.18、39.99、40.11 和 39.20 mg·kg^{-1} (图 3).

2.1.3 硝态氮

 $1 \sim 4$ 月,菜子坝沉积物 $0.0 \sim 4.0$ cm 之间的硝态氮浓度呈上升趋势,其最高浓度位于 $2.0 \sim 4.0$ cm,分别为 $403.19 \times 399.40 \times 392.97$ 和 399.81 mg·kg⁻¹;沉积物 $4.0 \sim 6.0$ cm之间,硝态氮浓度呈急剧下降趋势,分别下降了 $182.81 \times 194.08 \times 134.68$ 和 170.05 mg·kg⁻¹, $6.0 \sim 20.0$ cm 之间,其

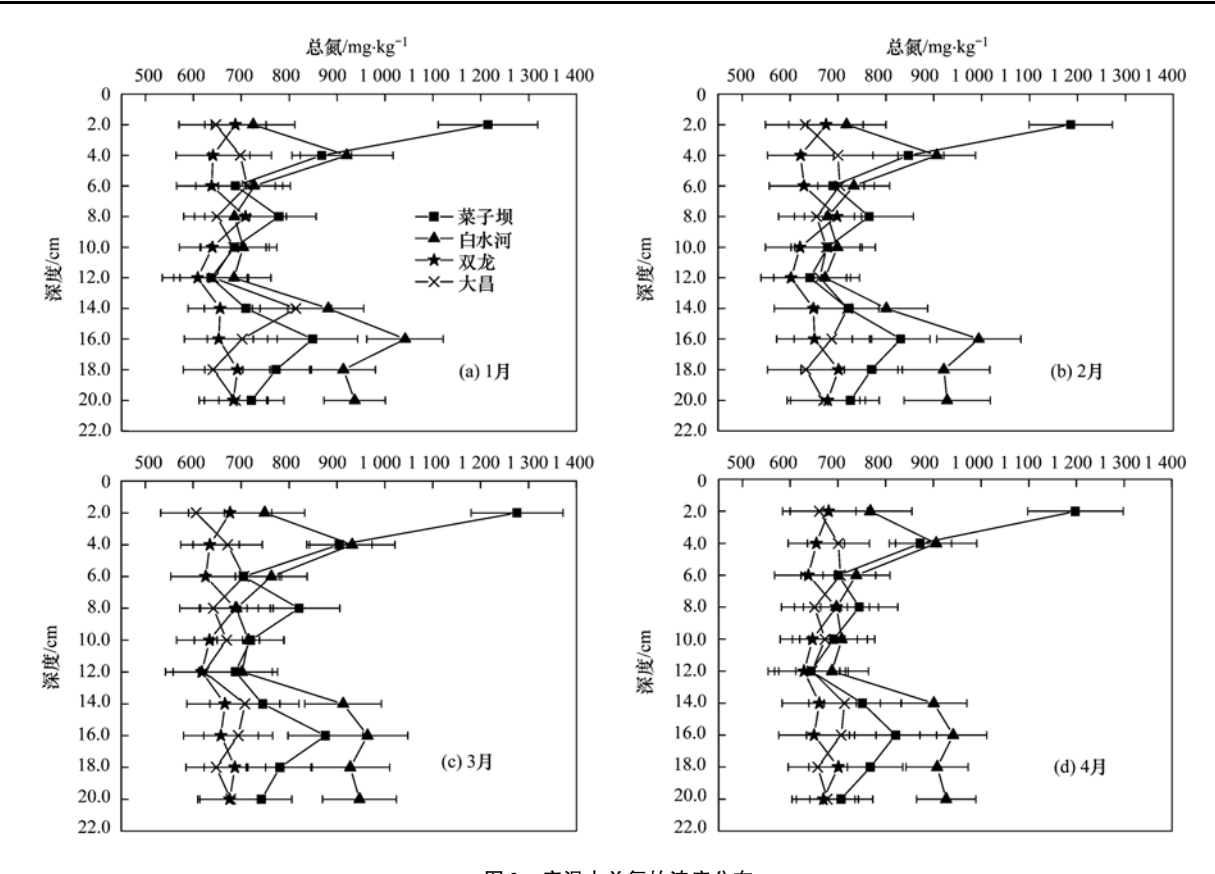


图 2 底泥中总氮的浓度分布

Fig. 2 Distribution of total nitrogen in sediment

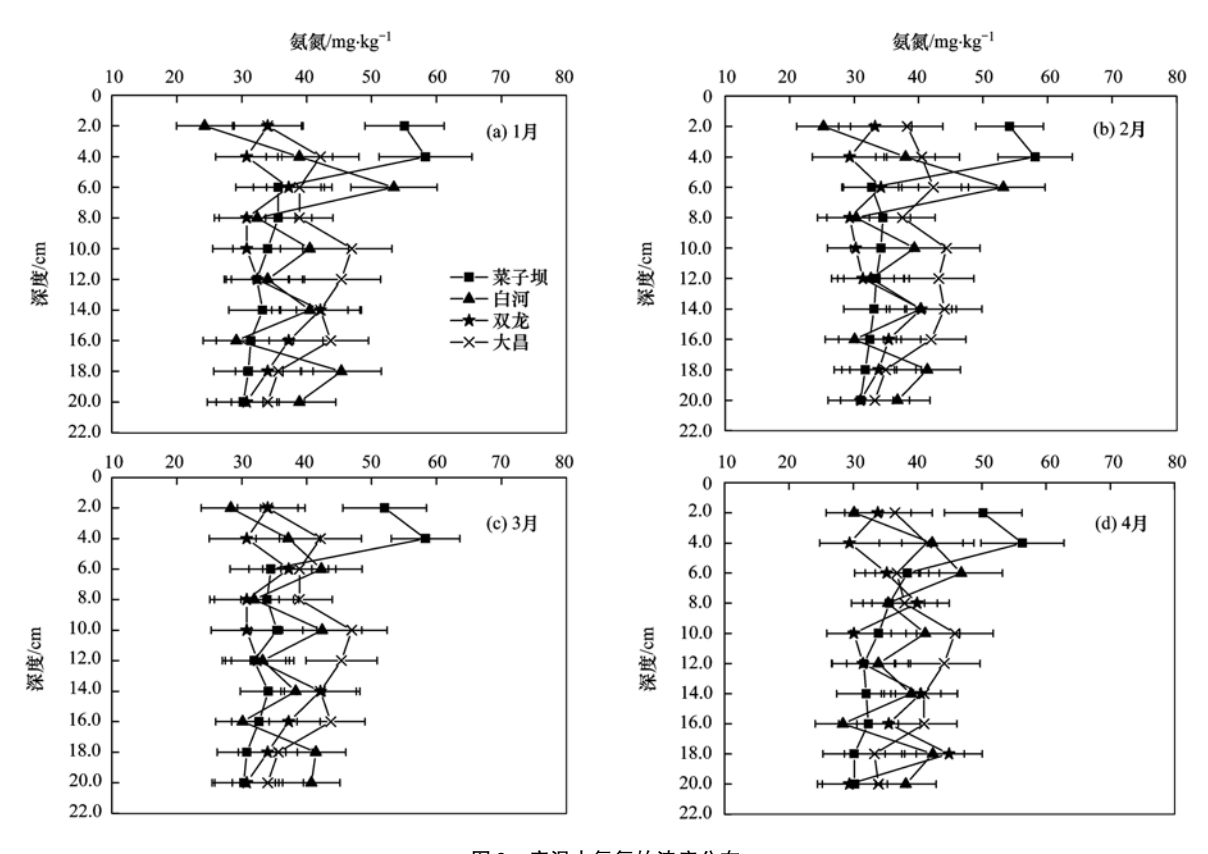


图 3 底泥中氨氮的浓度分布

Fig. 3 Distribution of ammonia nitrogen in sediment

1~3月,双龙沉积物在12.0~14.0 cm 分层中

1~4月,大昌沉积物在8.0~10.0 cm 分层中

硝态氮浓度最高为 272.61、245.43 和 263.84

mg·kg⁻¹. 4月硝态氮最高浓度在6.0~8.0 cm 分层

硝态氮浓度最高为 311.18、295.31、302.36 和

307.53 mg·kg⁻¹, 但是其它分层中硝态氮的浓度变

中为 198. 03 mg·kg⁻¹.

化明显差异显著(图4).

浓度呈现略微降低趋势; $4.0 \sim 20.0 \text{ cm}$ 分层中,菜子坝在 4 个取样点中硝态氮平均浓度最低,为 $191.02 \times 189.24 \times 196.17$ 和 $192.74 \text{ mg} \cdot \text{kg}^{-1}$.

 $1 \sim 4$ 月,白水河沉积物在 $0.0 \sim 6.0$ cm 分层中硝态氮浓度呈现上升趋势,其中 $4.0 \sim 6.0$ cm 分层中浓度最高为 $364.02 \times 331.83 \times 339.43$ 和 337.81 mg·kg⁻¹;随着沉积物深度增加,其浓度逐渐降低,其它分层中硝态氮浓度变化不显著.

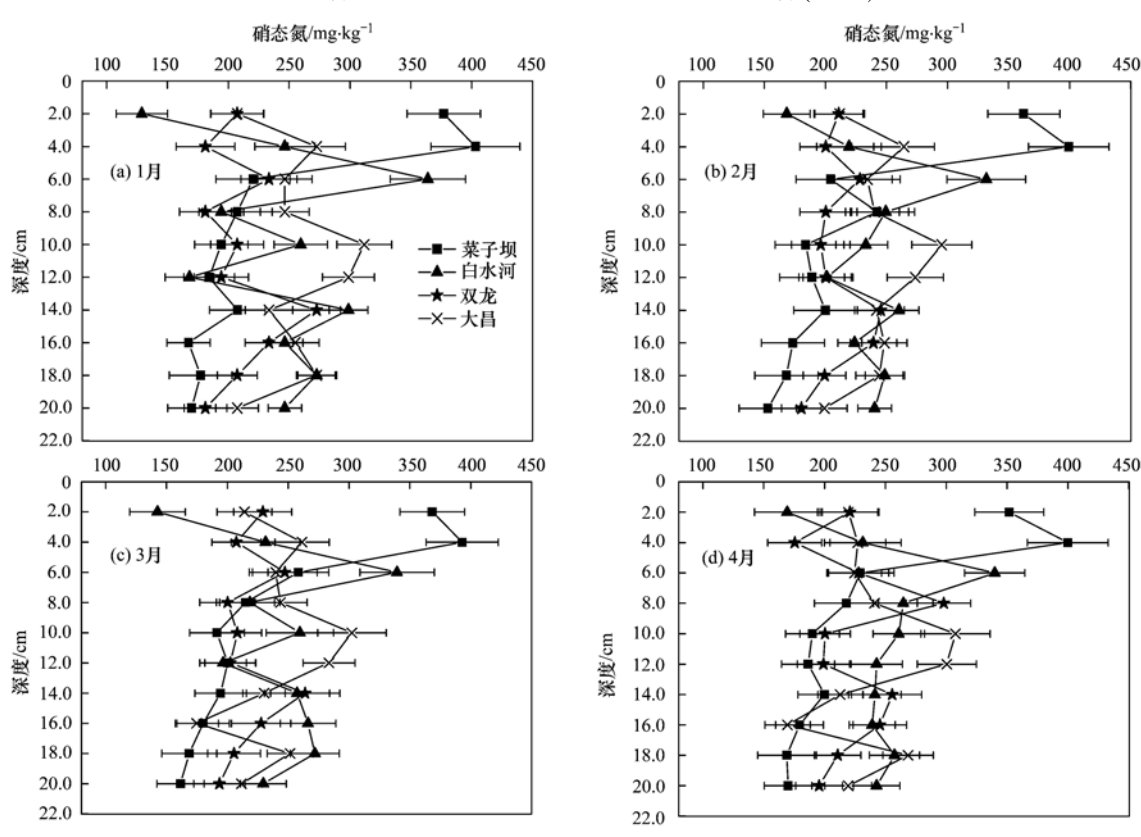


图 4 底泥中硝态氮浓度分布

Fig. 4 Distribution of nitrate nitrogen in sediment

2.1.4 亚硝态氮

除了 3 月,菜子坝沉积物 $0.0 \sim 4.0$ cm 之间的 亚硝态氮 最高浓度, 132.58、134.61 和 126.34 mg·kg⁻¹; 3 月,沉积物 $0.0 \sim 2.0$ cm 之间的亚硝态氮最高浓度,130.04 mg·kg⁻¹; $2.0 \sim 4.0$ cm,亚硝酸盐浓度迅速降低;其他分层其浓度变化不显著.

 $1 \sim 4$ 月,白水河沉积物在 $0.0 \sim 6.0$ cm 分层中亚硝态氮浓度呈现上升趋势,其中 $4.0 \sim 6.0$ cm 分层中浓度最高为 $120.53 \sim 96.27 \sim 100.21$ 和 117.84 mg·kg⁻¹;其它分层中亚硝态氮浓度变化不显著.

 $1 \sim 4$ 月,双龙沉积物中亚硝态氮浓度相对稳定,在 $12.0 \sim 14.0$ cm 分层中亚硝态氮浓度最高为 $92.42 \sim 91.29 \sim 94.28$ 和 89.94 mg·kg⁻¹. 其它分层中亚硝态氮浓度变化不显著.

1月,大昌沉积物在 8.0~10.0 cm 分层中的亚硝态氮浓度最高为 100.45 mg·kg⁻¹,2~4月,在 10.0~12.0 cm 分层中的亚硝态氮浓度最高为 102.73、101.02 和 101.38 mg·kg⁻¹;但是 0.0~2.0 cm 分层中的亚硝态氮浓度较低(图 5).

2.2 磷元素的分布

2.2.1 总磷的分布

1~4月,菜子坝沉积物中各分层中总磷的浓度总体上比其它3个取样点各对应分层的浓度高.4个月份菜子坝沉积物中0.0~2.0 cm 的总磷浓度最高,分别为 785.11、763.68、772.12 和 767.90 mg·kg⁻¹.2.0~20.0 cm 各分层中的总磷浓度变化不显著.1~4月其它3个取样点沉积物中各分层的总磷浓度变化差异不显著,仅在白水河沉积物中

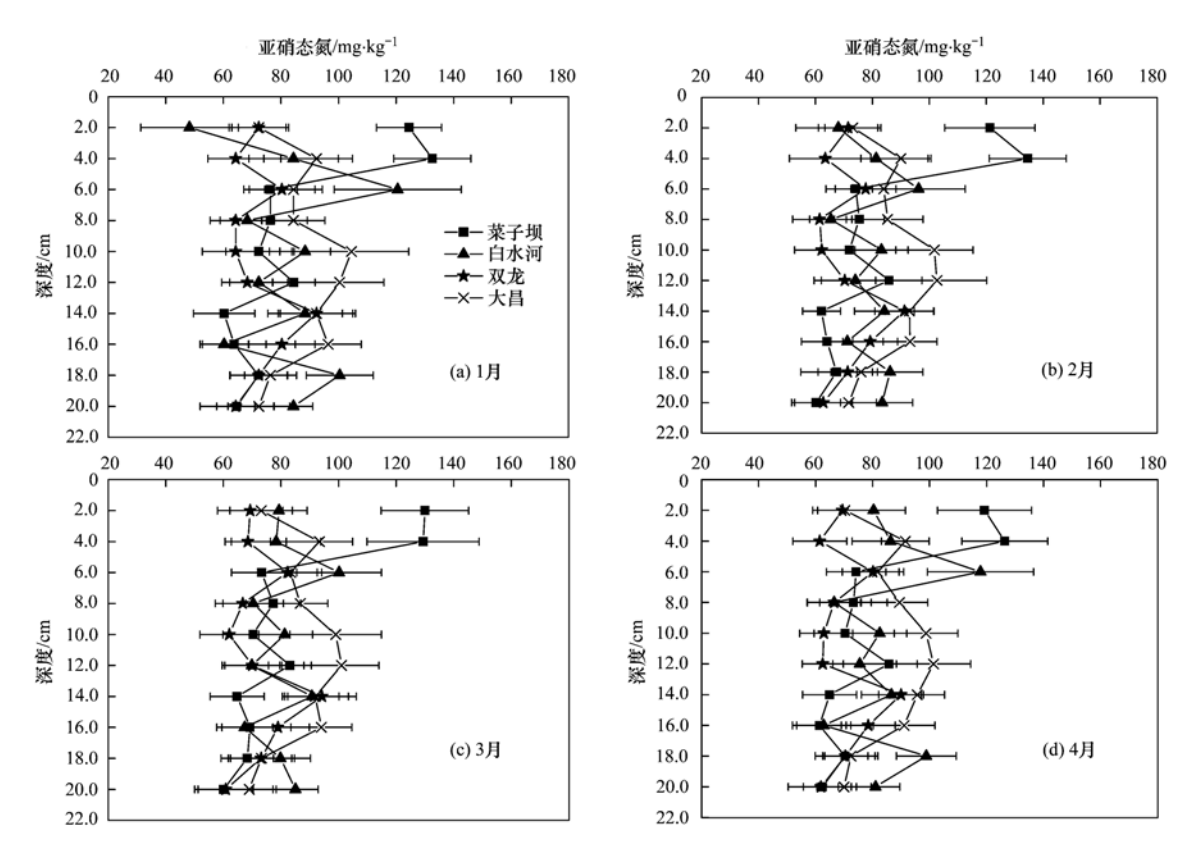


图 5 底泥中亚硝态氮浓度分布

Fig. 5 Distribution of nitrite nitrogen in sediment

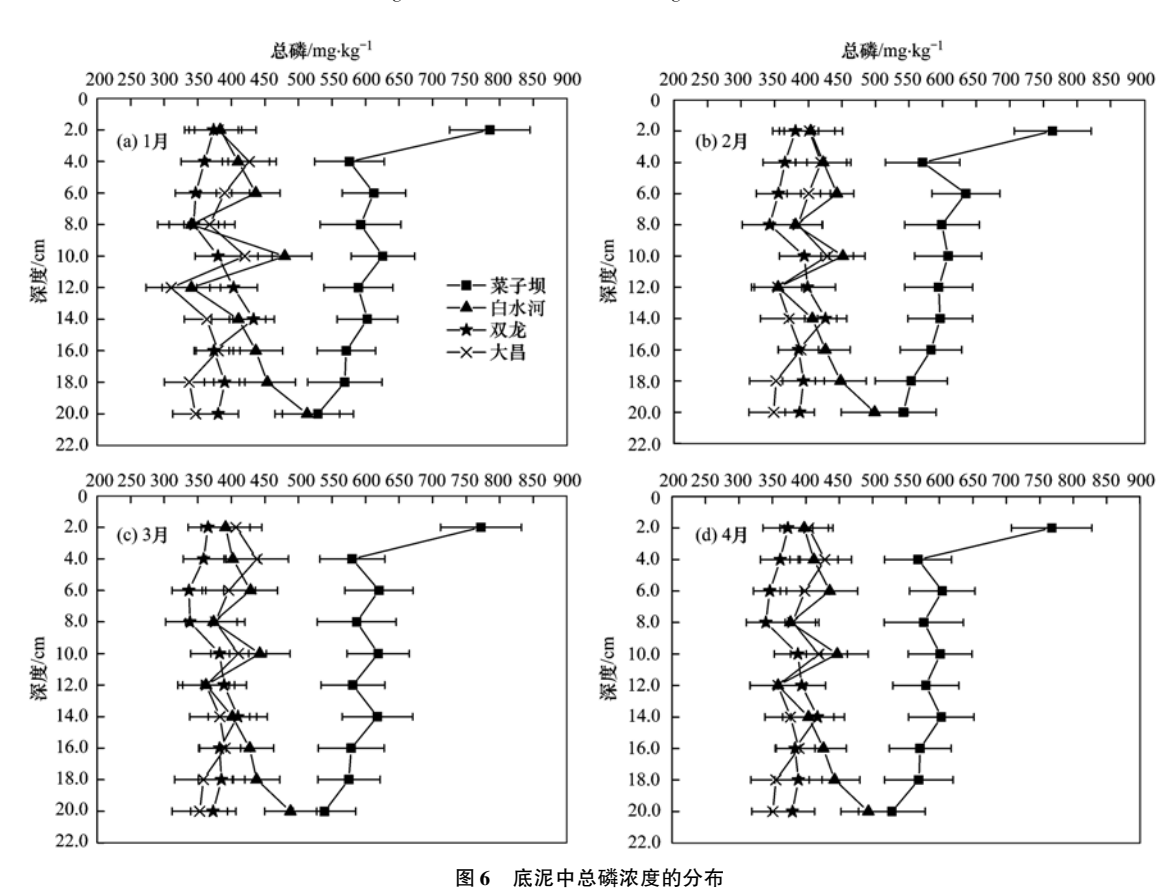


Fig. 6 Distribution of total phosphorus in sediment

(图7).

1~4月,白水河沉积物中无机磷的浓度为

205. 11~241. 27 mg·kg⁻¹, 双龙沉积物中无机磷的

浓度为 191.77~224.37 mg·kg⁻¹,大昌沉积物中

无机磷的浓度为 168.43~211.09 mg·kg⁻¹. 这 3

个取样点沉积物中各分层的无机磷浓度变化非常

不明显. 并且这3个取样点沉积物中各分层的无

机磷浓度均比菜子坝各对应分层的该元素浓度低

 $18.0 \sim 20.0$ cm 之间总磷浓度相对较高,分别为 $512.94 \times 498.76 \times 488.37$ 和 493.57 mg·kg⁻¹(图 6).

2.2.2 无机磷的分布

 $1 \sim 4$ 月,菜子坝沉积物中 $0.0 \sim 2.0$ cm 的无机磷浓度最高,分别为 497.68 < 469.16 < 483.42 和 476.29 mg·kg⁻¹. 沉积物中 $2.0 \sim 20.0$ cm 各分层中的无机磷浓度变化不显著,其浓度均介于 $324.25 \sim 389.80$ mg·kg⁻¹.

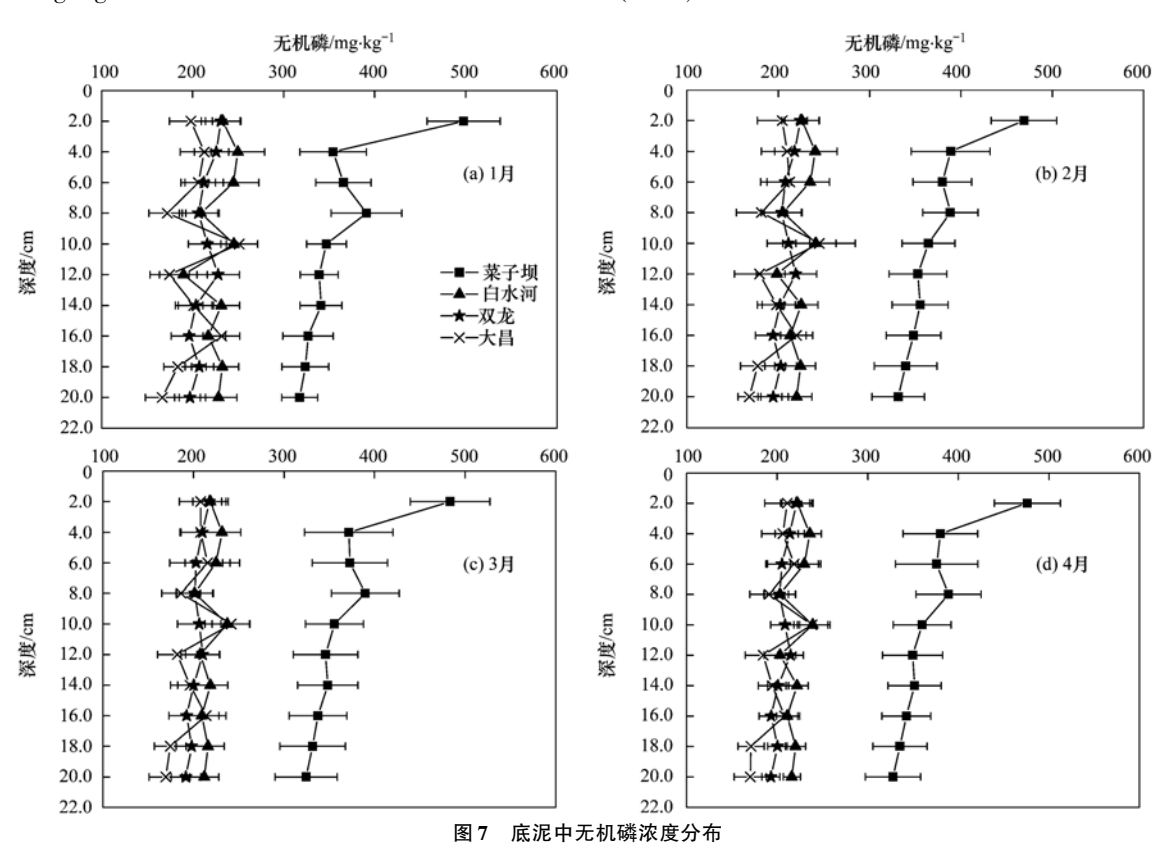


Fig. 7 Distribution of inorganic phosphorus in sediment

2.2.3 有机磷的分布

4 个取样点,菜子坝和大昌处沉积物中有机磷的平均浓度高于白水河和双龙处的浓度,4 个月菜子坝沉积物中有机磷的平均浓度分别为 188.75、185.07、186.91 和 185.99 mg·kg^{-1} ; 大昌沉积物中有机磷的平均浓度分别为 150.94、148.49、146.04 和 147.26 mg·kg^{-1} ; 白水河沉积物中有机磷的平均浓度分别为 152.76、155.21、156.03 和 154.39 mg·kg^{-1} ; 双龙沉积物中有机磷的平均浓度分别为 116.42、112.86、111.09 和 109.31 mg·kg^{-1} (图 8).

2.3 叶绿素分布

4个月份,不同取样点的底泥中叶绿素的分布特征类似.在水平方向,同一深层底泥中的叶绿素浓度在大昌最高,其次是白水河,再次菜子坝,双龙

处的叶绿素浓度最低. 在底泥垂向,叶绿素浓度从底泥表面到8.0 cm 之间迅速下降,大昌取样点底泥在8.0 cm 以下检测不到叶绿素浓度,白水河和菜子坝2个取样点在底泥6.0 cm 以下检测不到叶绿素浓度,而在双龙处底泥4.0 cm 以下基本检测不到叶绿素浓度(图9).

2.4 叶绿素与营养盐的分布相关性

4个取样点4个月份,叶绿素 a 与NO₂-N、有机磷负相关,与其他营养盐正相关;4个取样点中仅在大昌处1月底泥中叶绿素 a 与无机磷显著相关,相关系数为0.87,其它月份其它地点,叶绿素 a 与各营养盐因子无显著相关;4个月份中,底泥中的叶绿素 a 与同一营养盐因子的相关系数逐渐减少.同一月份,大昌底泥中的叶绿素 a 与同一营养盐因子的相关系数最低(表1).

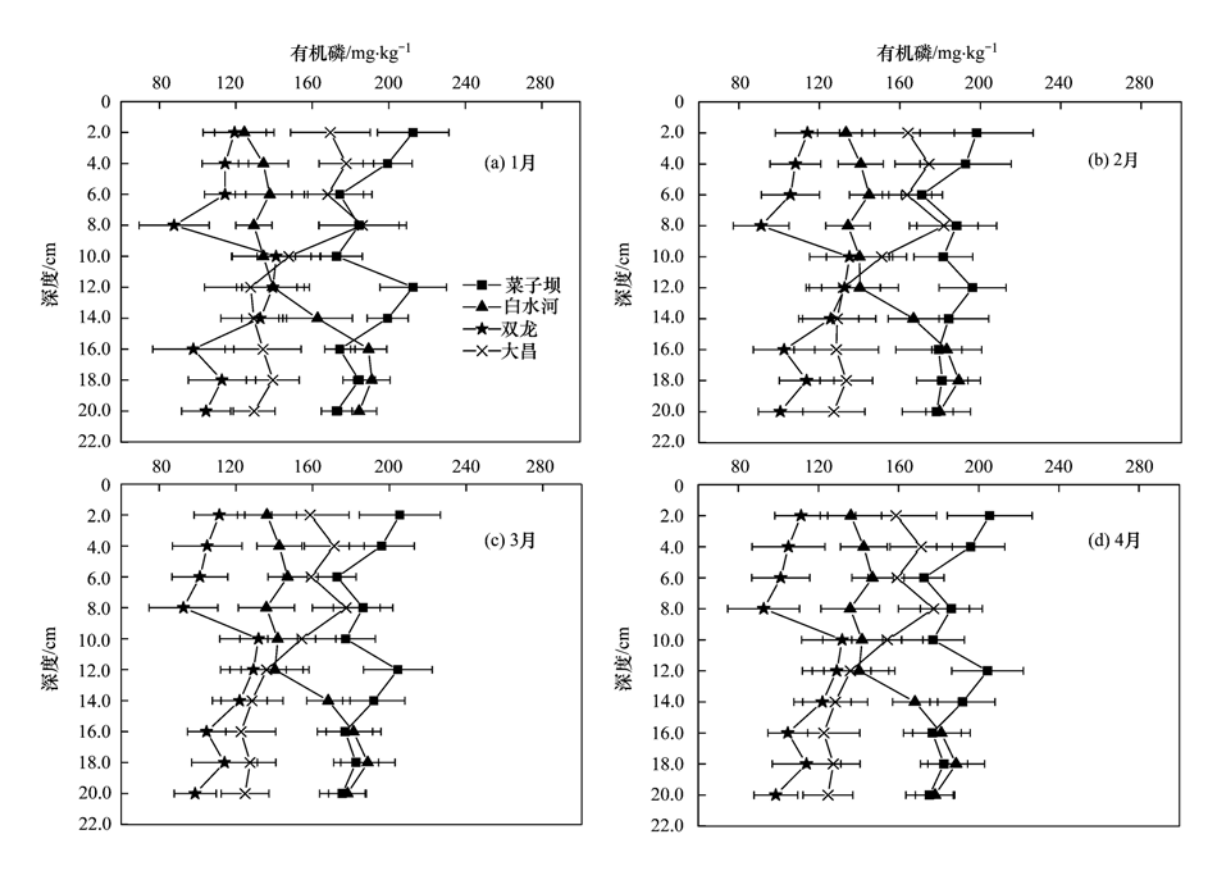


图 8 底泥中有机磷浓度分布

Fig. 8 Distribution of organophosphorus in sediment

表 1 大宁河底泥营养盐与叶绿素 a 的相关性分析

Table 1 Correlation analysis between nutrients and chlorophyll a in Daning River																
项目	菜子坝				白水河				双龙				大昌			
坝日	1月	2 月	3 月	4月	1月	2月	3 月	4 月	1月	2 月	3 月	4 月	1月	2月	3 月	4 月
TN	0.42	0. 29	0. 29	0. 25	0.43	0. 39	0.38	0.31	0.37	0. 24	0. 17	0. 16	0.66	0. 53	0.49	0.43
$\mathrm{NH_4}^+$ -N	0.47	0.42	0.35	0. 27	0.82	0.65	0.40	0.34	0. 29	0. 22	0. 15	0.10	0.71	0.66	0. 58	0.38
$\mathrm{NO_3}^-$ -N	0.38	0.31	0. 24	0. 22	0.67	0.63	0.41	0.37	0.33	0. 27	0.18	0.12	0.56	0.49	0.48	0.36
NO_2^{-} -N	-0.35	-0.37	-0.36	-0.30	-0.64	-0.57	-0.42	-0.29	-0.28	-0.19	-0.11	-0.09	-0.65	-0.42	-0.27	-0.26
TP	0.41	0.42	0.31	0.31	0.74	0. 54	0.46	0.35	0.21	0. 22	0.11	0.11	0.80	0.67	0.36	0.32
无机磷	0.57	0.52	0.41	0.36	0.78	0. 54	0.43	0.40	0.37	0.32	0. 21	0.06	0.87*	0.83	0. 52	0.31
有机磷	-0.48	-0.29	0. 20	-0.21	-0.53	-0.39	-0.37	-0.33	-0.28	-0.19	-0.11	-0.10	-0.51	-0.37	-0.33	-0.29

3 讨论

3.1 沉积物中营养盐分布的影响因素

三峡水库蓄水以来,支流流速减缓,泥沙沉降,库湾和支流污染物的滞留时间延长^[21,26],同时,三峡大坝建成后大宁河支流回水区淹没了原来的农田和部分村庄,因此底泥与原来未建大坝时的底泥营养盐分布并不一致,但是自2010年蓄水至175 m以来,未见关于大宁河底泥营养分布的研究报道.本研究在1~4月,选择大宁河4个具有代表性的点位,利用垂直重力采泥器采集柱状泥样,分析了20.0 cm以内的底泥营养盐的分布状况.研究结果

表明底泥中 0.0~2.0 cm 总氮浓度在菜子坝最高, 其次是白水河,大昌最小,菜子坝处的总氮可能主要 是巫山县城生活污水中污染物的排放积累而成;而 白水河处的总氮浓度最高的是 2.0~4.0 cm,其主 要原因可能是由于取样地点淹没前是农田,由于长 期使用底肥,导致氮元素的最高浓度不是出现在底 泥表层,而是出现在底泥的某一分层.整个试验期 间菜子坝采样点底泥 2.0~4.0 cm 氨氮浓度最高, 在 1 和 2 月白水河底泥 4.0~6.0 cm 浓度较高. 硝 态氮和亚硝态氮(除 3 月)在菜子坝底泥 2.0~4.0 cm 浓度最高;氨氮、硝态氮和亚硝态氮在同一个采 样点 4.0 cm 以下分层浓度差异不显著. 造成氮元

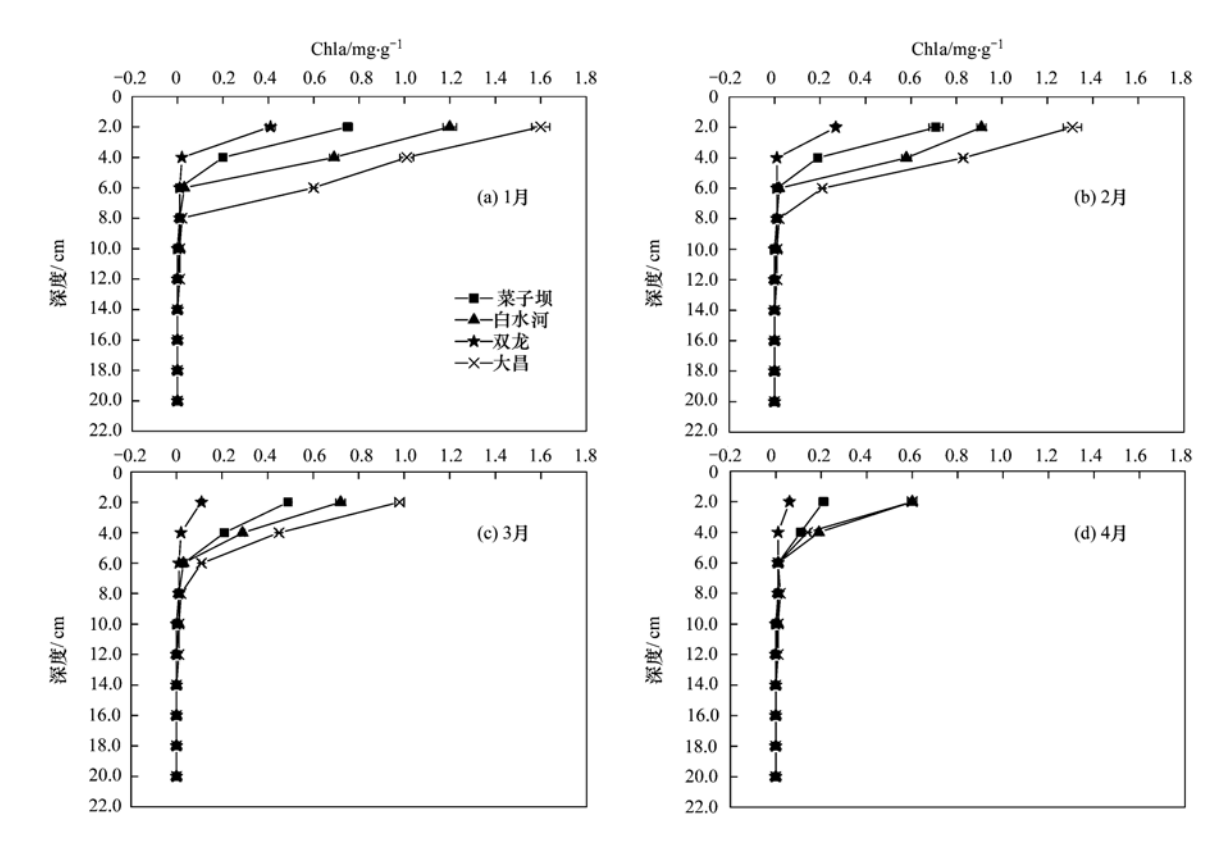


图 9 底泥中叶绿素浓度分布

Fig. 9 Distribution of chlorophyll a in sediment

素分布特点的原因可能由于水-底泥界面的水动力或者环境条件并不适宜底泥微生物的生存,底泥微生物特别是厌氧微生物大部分集中在底泥 2.0~6.0 cm 之间,此泥层的环境更加有利于微生物对氮元素的形态转化.

受淹没前农田施肥状况影响,白水河处的总磷 从 0.0~6.0 cm 呈增加趋势, 但是菜子坝的总磷和 无机磷不仅仅在表层的浓度显著高于其它分层,而 且每一分层中总磷、无机磷浓度都高于其他 3 个取 样点相应的分层,根据菜子坝的取样地点为原大宁 河河道,推测菜子坝的总磷和无机磷主要来源不是 来自农田施肥,而是巫山县城排放的生活污水或工 业废水内的污染物在底泥中的沉积而成,在对巫山 县城12个排污口的污染物分析也发现其中的总磷 和无机磷显著高于其他3个取样点处点源污染的总 磷和无机磷浓度. 有机磷在菜子坝和大昌的浓度高 于白水河和双龙的浓度,但是不同分层的浓度差异 不显著,主要原因可能是菜子坝和大昌淹没前是原 来城镇居民区,其有机磷由于不容易被底泥中微生 物利用,因此累积量要远高于农田淹没区的白水河 和峡谷河道的双龙.

双龙和大昌两处底泥中营养盐因子在底泥不同

分层中的浓度变化并不十分显著,其浓度变化浮动范围也比较窄.双龙是一个狭长且两岸陡峭的峡谷,取样点位于航道中心,因此底泥样品既不是原来农田土壤,也不是两岸护坡因地表径流而堆积土壤,而是水体中的固体颗粒物经过上千年的积累而成,是真正的"沉积物",因此在沉积物各分层中营养盐的浓度变化不显著.

3.2 底泥中藻细胞分布与营养盐分布关系

藻细胞在底泥中越冬,底泥中的藻种为次年的藻华提供种源^[5,6,11~14],因此藻细胞在底泥中的分布与营养盐的分布有密切关系.但是不同湖库,生态环境不同,底泥中的藻种的分布规律也不相同,季健^[18]在太湖利用叶绿素 a 代表藻种密度,研究了藻细胞越冬期底泥中藻细胞与营养盐分布关系,依此结果预测次年藻华发生地点.但是本研究中,仅在1月大昌处发现叶绿素与无机磷有显著相关,相关系数为0.87,其他取样点没有检测到叶绿素和营养盐显著相关,说明越冬期大宁河大部分流域底泥中的藻细胞无法为次年藻华提供藻种.目前为了及早地预防藻华的发生,通常通过分析越冬期底泥中的藻细胞分布确定次年藻华的种源地,利用此方法确定了梅梁湾是太湖次年藻华暴发种源地^[18,19],而本研

究利用此方法却没有得出类似的结果,因此在三峡库区无法利用分析藻细胞在底泥中的分布确定次年水华藻种种源地.由于越冬期,三峡库区属于蓄水期,水位较高,底泥生境温度较低,光线较暗,并不适应藻细胞的越冬,而大昌处取样点由于处于汇水区上端,水深较浅,光线较其他取样点好,因此在越冬期,大昌极有可能是次年藻华的藻种来源地之一,其他取样点处藻细胞主要分布在水面以下 4.0 m 之内[33].依据本研究及本课题组前期研究,推测对于深水湖泊,越冬期间,除死亡的藻细胞沉于底泥外,其他藻细胞悬浮于水体 0.0~4.0 m 之间,这期间主要受水体营养盐及水温的影响.

磷被认为是影响藻细胞生长的决定性因 子[34~38]. 越冬期,底泥中的磷元素分布也影响了底 泥中藻细胞的分布,2月与3月太湖底泥中的磷元 素与蓝藻分布具有显著相关性[18,19],因而推测在浅 水湖区底泥的磷元素与底泥蓝藻分布密切相关. 但 是本研究发现,菜子坝处底泥的无机磷显著地高于 其他取样点处,但是菜子坝处无机磷与叶绿素并不 显著相关,大昌处和其他2个取样点的无机磷浓度 差异不显著,但是在大昌处1月检测到无机磷与叶 绿素显著正相关. 依据试验结果可推测,大宁河底 泥中的营养盐不是影响底泥藻细胞分布的主要影响 因素,大昌处底泥中的藻细胞主要来源于蓄水初期 回水中的藻细胞聚集在大昌后沉降所致,由于大昌 处水位较浅,底泥表面处的磷元素是影响藻细胞在 底泥中分布的主要影响因素. 因此,依据本研究的 结果可以推测,浅水湖泊与深水湖库中的藻细胞越 冬地是不一样的,浅水湖泊藻细胞的越冬地为底泥, 深水湖库藻细胞的越冬地为水体.

4 结论

- (1)菜子坝底泥 0.0~2.0 cm 总氮浓度最高, 白水河底泥 2.0~4.0 cm 的总氮浓度最高;菜子坝 底泥 2.0~4.0 cm 氨氮浓度最高,1 和 2 月份白水 河底泥 4.0~6.0 cm 浓度较高;硝态氮和亚硝态氮 (除 3 月)在菜子坝底泥 2.0~4.0 cm 浓度最高;氨 氮、硝态氮和亚硝态氮浓度在同一个采样点底泥 4.0 cm 以下分层差异不显著.
- (2)白水河处的总磷从 0.0~6.0 cm 呈增加趋势,菜子坝底泥表层的总磷和无机磷的浓度显著高于其它分层,而且每一分层中总磷、无机磷浓度都高于其他 3 个取样点相应的分层;有机磷在菜子坝和大昌的浓度高于白水河和双龙的浓度,但是同一

- 采样点底泥不同分层的有机磷浓度差异不显著.
- (3)同一深层底泥中的叶绿素浓度在大昌最高,其次是白水河,再次菜子坝,双龙处的叶绿素浓度最低.
- (4)只有1月在大昌取样点处无机磷和叶绿素的浓度显著正相关,相关系数为0.87,底泥中的营养盐不是影响底泥藻细胞分布的主要影响因素,大昌底泥是大宁河藻细胞越冬地,是大宁河春末夏初水华藻种来源地.

参考文献:

- [1] 秦伯强. 太湖生态与环境若干问题的研究进展及其展望 [J]. 湖泊科学, 2009, **21**(4): 445-455.
- [2] 中国环境科学研究院等. 湖泊生态安全保障策略[M]. 北京:科学出版社, 2013. 1-12.
- [3] 孔繁翔, 马荣华, 高俊峰, 等. 太湖蓝藻水华的预防、预测和预警的理论与实践[J]. 湖泊科学, 2009, **21**(3): 314-328.
- [4] 孔繁翔, 高光. 大型浅水富营养化湖泊中蓝藻水华形成机理的思考[J]. 生态学报, 2005, **25**(3): 589-595.
- [5] Brunberg A K, Blomqvist P. Recruitment of Microcystis (cyanophyceae) from lake sediments; the importance of littoral inocula [J]. Journal of Phycology, 2003, 39(1): 58-63.
- [6] Karlsson-Elfgren I, Brunberg A K. The importance of shallow sediments in the recruitment of anabaena and *Aphanizomenon* (cyanophyceae) [J]. Journal of Phycology, 2004, 40 (5), 831-836.
- [7] Fallon R D, Brock T D. Overwintering of Microcystis in Lake Mendota [J]. Freshwater Biology, 1981, 11(3): 217-226.
- [8] Takamura N, Yasuno M. Sedimentation of phytoplankton populations dominated by *Microcystis* in a shallow lake [J]. Journal of Plankton Research, 1988, 10(2): 283-299.
- [9] Boström B, Pettersson A K, Ahlgren I. Seasonal dynamics of a cyanobacteria-dominated microbial community in surface sediments of a shallow, eutrophic lake [J]. Aquatic Sciences, 1989, 51(2): 153-178.
- [10] Hansson L A. Algal recruitment from lake sediments in relation to grazing, sinking, and dominance patterns in the phytoplankton community[J]. Limnology and Oceanography, 1996, 41(6): 1312-1323.
- [11] 季健, 孔繁翔, 于洋, 等. 太湖越冬蓝藻空间分布的初步研究[J]. 湖泊科学, 2009, **21**(4): 490-494.
- [12] Preston T. Stewart W D P, Reynolds C S. Bloom-forming cyanobacterium *Microcystis aeruginosa* overwinters on sediment surface[J]. Nature, 1980, 288 (5789): 365-367.
- [13] Yang Z, Kong F X, Zhang M. Effect of filtered cultures of flagellate Ochromonas sp. on colony formation in Microcystis aeruginosa[J]. International Review of Hydrobiology, 2010, 94 (2): 143-152.
- [14] Verspagen J M H, Snelder E O F M, Visser P M, et al. Benthicpelagic coupling in the population dynamics of the harmful

- cyanobacterium *Microcystis* [J]. Freshwater Biology, 2005, **50** (5): 854-867.
- [15] 范成新, 杨龙元, 张路. 太湖底泥及其间隙水中氮磷垂直分布及相互关系分析[J]. 湖泊科学, 2000, **12**(4): 359-366.
- [16] Guo L. Doing battle with the green monster of Taihu Lake [J]. Science, 2007, 317(5842): 1166.
- [17] Burton E D, Bush R T, Sullivan L A. Fractionation and extractability of sulfur, iron and trace elements in sulfidic sediments[J]. Chemosphere, 2006, 64(8): 1421-1428.
- [18] 季健. 太湖越冬蓝藻时空分布研究[D]. 北京: 中国科学院 南京地理与湖泊研究所, 2009. 47-50.
- [19] 苗秀珍. 太湖越冬蓝藻时空分布及过程[D]. 南京: 南京工业大学, 2010. 55-56.
- [20] 刘冬梅,姜霞,金相灿,等.太湖藻对水-沉积物界面磷交换过程的影响[J].环境科学研究,2006,19(4):8-13.
- [21] 郭劲松,张超,方芳,等. 三峡水库小江回水区水华高发期 浮游植物群落结构特征研究[J]. 科技导报,2008,26(17): 70-75.
- [22] Ye L, Xu Y Y, Han X Q, et al. Daily dynamics of nutrients and chlorophyll a during a spring phytoplankton bloom in Xiangxi bay of the three Gorges Reservoir [J]. Journal of Freshwater Ecology, 2006, 21(2): 315-321.
- [23] Ye L, Han X Q, Xu Y Y, et al. Spatial analysis for spring bloom and nutrient limitation in Xiangxi bay of three Gorges Reservoir [J]. Environmental Monitoring and Assessment, 2007, 127 (1-3): 135-145.
- [24] 徐耀阳,蔡庆华,黎道丰,等. 三峡水库香溪河库湾拟多甲藻昼夜垂直分布初步研究[J]. 武汉植物学研究,2008,26 (6):608-612.
- [25] 周广杰,况琪军,胡征宇,等. 香溪河库湾浮游藻类种类演 替及水华发生趋势分析[J]. 水生生物学报,2006,30(1):
- [26] 郑丙辉,曹承进,张佳磊,等. 三峡水库支流大宁河水华特

- 征研究[J]. 环境科学, 2009, 30(11): 3218-3226.
- [27] 张永生,郑丙辉,王坤,等.三峡库区大宁河枯水期藻细胞的时空分布[J].环境科学,2013,34(6):2166-2175.
- [28] 吴光应, 刘晓霭. 大宁河水体营养盐状况与水华爆发之间关系分析[J]. 中国环境监测, 2009, **25**(4): 98-101.
- [29] 张佳磊,郑丙辉,刘录三,等. 三峡水库试验性蓄水前后大宁河富营养化状态比较[J]. 环境科学,2012,33(10):3382-3389.
- [30] 刘敏, 吴光应. 三峡库区大宁河 2010 年和 2011 年春季水华特征研究[J]. 安全与环境工程, 2013, **20**(1): 100-104.
- [31] 高继军,周怀东,陆瑾,等.三峡水库水环境质量监测技术方法「M].北京:中国水利水电出版社,2012.
- [32] 国家环境保护总局. 水和废水监测分析方法[M]. (第四版). 北京:中国环境科学出版社, 2002. 243-257.
- [33] 张永生,郑丙辉,姜霞,等. 三峡库区大宁河藻细胞昼夜垂直迁移研究[J]. 环境科学, 2012, **33**(11): 3787-3796.
- [34] Song Y Z, Kong F F, Xue Y, et al. Responses of chlorophyll and MDA of Vallisneria natans to nitrogen and phosphorus availability and epiphytic algae [J]. Journal of Freshwater Ecology, 2015, 30(1): 85-97.
- [35] 朱广伟. 太湖富营养化现状及原因分析[J]. 湖泊科学, 2008, **20**(1): 21-26.
- [36] Hussein E E, Dabrowski K, El-Saidy D M S D, et al. Effect of dietary phosphorus supplementation on utilization of algae in the grow-out diet of Nile tilapia Oreochromis niloticus [J]. Aquaculture Research, 2014, 45(9): 1533-1544.
- [37] Chu Z S, Jin X C, Yang B, et al. Buoyancy regulation of Microcystis flos-aquae during phosphorus-limited and nitrogenlimited growth [J]. Journal of Plankton Reseach, 2007, 29(9): 739-745.
- [38] Douglas E J, Haggitt T R, Rees T A V. Relationship between tissue phosphorus and seawater phosphate in the brown alga *Hormosira banksii* [J]. New Zealand Journal of Marine and Freshwater Research, 2015, 49(1): 64-68.

HUANJING KEXUE

Environmental Science (monthly)

Vol. 36 No. 11 Nov. 15, 2015

CONTENTS

Composition and Source Apportionments of Saccharides in Atmospheric Particulate Matter in Beijing		
Comparing Cell Toxicity of Schizosaccharomyces pombe Exposure to Airborne PM _{2.5} from Beijing and Inert Particle SiO ₂	LIU Meng-jiao, HUANG Yi, WEN Hang, et al. (3	3943)
Analysis on Regional Characteristics of Air Quality Index and Weather Situation in Beijing and Its Surrounding Cities During the	ne APEC ··· GAO Qing-xian, LIU Jun-rong, WANG Ning, et al. (3	3952)
Analysis About Spatial and Temporal Distribution of SO_2 and An Ambient SO_2 Pollution Process in Beijing During 2000-2014		3961)
Characteristics and Formation Mechanism of a Multi-Day Haze in the Winter of Shijiazhuang Using a Single Particle Aerosol Ma	ass Spectrometer(SPAMS) ·····	
Modeling Study of A Typical Summer Ozone Pollution Event over Yangtze River Delta		
Distribution of Regional Pollution and the Characteristics of Vertical Wind Field in the Pearl River Delta	-	
Distribution Characteristics of Urea and Constitution of Dissolved Nitrogen in the Bohai Sea and the Huanghai Sea in Spring \cdot		
Relationship Between Agricultural Land and Water Quality of Inflow River in Erhai Lake Basin		
Input Characteristics and Pollution Assessment of Nutrients Pollution in the Primary Pollution Source of the Daliao River		4013)
Temporal and Spatial Distribution of Nutrients in Daning River Sediments and Their Correlations with Chlorophyll in the Three		
		4021)
Summer Greenhouse Gases Exchange Flux across Water-air Interface in Three Water Reservoirs Located in Different Geologic S		
Distribution of Redox Zone at Different Water Layers in the Presence of Periphyton and the Responsible Microorganisms		4043)
Distribution Characteristics and Source of Fluoride in Groundwater in Lower Plain Area of North China Plain; A Case Study in		
Distribution Characteristics of Fluoroquinolones Antibiotics in Surface Water and Groundwater from Typical Areas in A City		
Distribution of Aerobic Ammonia-Oxidizing Microorganisms in Sediments from Adjacent Waters of Rushan Bay		
Sources, Migration and Conversion of Dissolved Sterols in Qingmuguan Underground River		
Water-Sediment Partition of Polycyclic Aromatic Hydrocarbons in Karst Underground River		
Variation Characteristics and Sources of Polycyclic Aromatic Hydrocarbons in Karst Subterranean River During Rainfall Events		4088)
Distribution and Transportation Characteristics of Heavy Metals in Nanshan Laolongdong Subterranean River System and Its Cap	pacity of Self-Purification in Chongqing	
Distribution of Mercury in Plants at Water-Level-Fluctuating Zone in the Three Gorges Reservoir		
Development of Sediment Micro-Interface Under Physical and Chironomus plumosus Combination Disturbance		
Norfloxacin Solution Degradation Under Ultrasound, Potassium Persulfate Collaborative System		
Degradation of Acid Orange 7 with Persulfate Activated by Silver Loaded Granular Activated Carbon		
Kinetics and Reactive Species Analysis of Dimetridazole Degradation by TiO ₂ ·····		
Performance and Mechanism of Ferric Tannate in the Removal of Inorganic Nitrogen from Wastewater		
Performance of an Intermittent Aeration Membrane Bioreactor for Removal of Veterinary Antibiotics from Piggery Wastewater		
Advanced Treatment of Incineration Leachate with O ₃ -BAC and Double O ₃ -BAC		
Effects of Hydraulic Retention Time and Dissolved Oxygen on a CANON Reactor with Haydite as Carrier		
Inhibiting Form of Ammonium to AOB and Inhibiting Rule		
Nitrogen Removal Using ANAMMOX and Denitrification for Treatment of Municipal Sewage	• • • • • • • • • • • • • • • • • • • •	
Rapid Start-up of Simultaneous Nitrification and Denitrification Coupled Phosphorus Removal Process and Its Performing Characteristics of the Coupled Phosphorus Removal Process and Its Performing Characteristics (Coupled Phosphorus Removal Process and Its Performing Characteristics).		
Effect of HCO ₃ ⁻ on Nitrogen Removal Efficiency in Partial Nitritation-ANAMMOX Process		
Research on Cultivation and Stability of Nitritation Granular Sludge in Integrated ABR-CSTR Reactor	WU Kai-cheng, WU Peng, SHEN Yao-liang, et al. (4	4195)
Influence of the Application of Activated Persulfate on Municipal Sludge Conditioning	, , ,	
Influence of Temperature on the Anaerobic Packed Bed Reactor Performance and Methanogenic Community		
Research on the Screening Method of Soil Remediation Technology at Contaminated Sites and Its Application		
Comprehensive Risk Assessment of Soil Heavy Metals Based on Monte Carlo Simulation and Case Study	YANG Yang, DAI Dan, CAI Yi-min, et al. (4	4225)
Heavy Metals Pollution in Topsoil from Dagang Industry Area and Its Ecological Risk Assessment	····· ZHANG Qian, CHEN Zong-juan, PENG Chang-sheng, et al. (4	4232)
Effects of Land Use Type on Soil Microbial Biomass Carbon and Nitrogen in Water-Stable Aggregates in Jinyun Mountain		
Influence of Different Straws Returning with Landfill on Soil Microbial Community Structure Under Dry and Water Farming	LAN Mu-ling, GAO Ming (4	4252)
Carbon Source Utilization Characteristics of Soil Microbial Community for Apple Orchard with Interplanting Herbage	DU Yi-fei, FANG Kai-kai, WANG Zhi-kang, et al. (4	4260)
Effects of Different Kinds of Organic Materials on Soil Heavy Metal Phytoremediation Efficiency by Sedum alfredii Hance		
In-situ Study on Effects of Combined Amendment on Translocation Control of Pb and Cd in Soil-Vegetable System		
Effects of Rice Cultivar and Typical Soil Improvement Measures on the Uptake of Cd in Rice Grains	WANG Mei-e, PENG Chi, CHEN Wei-ping (4283)
Pollution Characteristics and Ecological Risk Assessment of PAHs in Water and Fishes from Daqing Lakes	····· WANG Xiao-di, ZANG Shu-ying, ZHANG Yu-hong, et al. (4	4291)
Depth Profiles of Methane Oxidation Kinetics and the Related Methanotrophic Community in a Simulated Landfill Cover	XING Zhi-lin, ZHAO Tian-tao, GAO Yan-hui, et al. (4	4302)
Enhanced Performance of Rolled Membrane Electrode Assembly by Adding Cation Exchange Resin to Anode in Microbial Fuel	Cells MEI Zhuo, ZHANG Zhe, WANG Xin (4	4311)
Development of a Monoclonal Antibody-Based Sensor for Environmental Pyrene and Benzo(a) pyrene Detection	LI Xin, QIAO Yan, ZHONG Guo-zhen (4	4319)

《环境科学》第6届编辑委员会

主 编:欧阳自远

副主编: 赵景柱 郝吉明 田 刚

编 委: (按姓氏笔画排序)

万国江 王华聪 王凯军 王绪绪 田 刚 田 静 史培军

朱永官 刘志培 刘 毅 汤鸿霄 孟 伟 周宗灿 林金明

欧阳自远 赵景柱 姜 林 郝郑平 郝吉明 聂永丰 黄 霞

黄耀 鲍强潘纲潘涛魏复盛

环枪种草

(HUANJING KEXUE)

(月刊 1976年8月创刊) 2015年11月15日 第36卷 第11期

ENVIRONMENTAL SCIENCE

(Monthly Started in 1976)

Vol. 36 No. 11 Nov. 15, 2015

主	管	中国科学院	Superintended	by	Chinese Academy of Sciences
主	办	中国科学院生态环境研究中心	Sponsored	by	Research Center for Eco-Environmental Sciences, Chinese
协	办	(以参加先后为序)			Academy of Sciences
		北京市环境保护科学研究院	Co-Sponsored	by	Beijing Municipal Research Institute of Environmental
		清华大学环境学院			Protection
主	编	欧阳自远			School of Environment, Tsinghua University
编	辑	《环境科学》编辑委员会	Editor-in -Chief		OUYANG Zi-yuan
<i>⊅</i> 	14	北京市 2871 信箱(海淀区双清路	Edited	by	The Editorial Board of Environmental Science (HUANJING
		18 号,邮政编码:100085)			KEXUE)
		电话:010-62941102,010-62849343			P. O. Box 2871, Beijing 100085, China
		传真:010-62849343			Tel:010-62941102,010-62849343; Fax:010-62849343
		E-mail; hjkx@ rcees. ac. cn			E-mail; hjkx@ rcees. ac. cn
		http://www.hjkx.ac.cn			http://www.hjkx.ac.cn
出	版	4 学业版社	Published	by	Science Press
	///	北京东黄城根北街 16 号			16 Donghuangchenggen North Street,
		邮政编码:100717			Beijing 100717, China
印刷装	订	北京北林印刷厂	Printed	by	Beijing Bei Lin Printing House
发	行	辞华出版 社	Distributed	by	Science Press
		电话:010-64017032			Tel:010-64017032
		E-mail:journal@mail.sciencep.com			E-mail:journal@mail.sciencep.com
订 购	处	全国各地邮电局	Domestic		All Local Post Offices in China
国外总统	发行	中国国际图书贸易总公司	Foreign		China International Book Trading Corporation (Guoji
		(北京 399 信箱)			Shudian), P. O. Box 399, Beijing 100044, China

中国标准刊号: ISSN 0250-3301 CN 11-1895/X

国内邮发代号: 2-821

国内定价:120.00元

国外发行代号: M 205

国内外公开发行